



中国科学技术大学
University of Science and Technology of China

信息科学技术学院
School of Information Science and Technology

信号与系统 – 第十四周

拉普拉斯变换和 Z 变换 (续)

赵 峰, 电四楼421
fzhao956@ustc.edu.cn
2022/5/25

8.4 拉普拉斯变换和 Z 变换的性质

前面第 6 章已全面介绍和讨论了 CFT 和 DTFT 的各种性质，拉普拉斯变换和 Z 变换看成傅里叶变换从频域扩展到复平面。

故：♣ 拉普拉斯变换性质和 Z 变换性质分别是 CFT 和 DTFT 的性质从 S 平面虚轴和 Z 平面单位圆推广到整个复平面；

♣ CFT 和 DTFT 的性质又分别是拉普拉斯变换性质和 Z 变换性质在 S 平面虚轴和 Z 平面单位圆上的体现。

本节将在 CFT 和 DTFT 有关性质的基础上，**充分利用上述关系**，讲述和展现双边拉普拉斯变换和双边 Z 变换的性质。

说明：大部分傅里叶变换性质都有其对应的拉普拉斯变换和 Z 变换性质，但有其不同解释和特征；有几个傅里叶变换性质没有对应的双边变换性质，双边变换也有个别特有性质。

注意：因 s 域和 z 域是不同坐标的复平面带来两者性质的差别。

强调：介绍和讨论拉普拉斯变换和 Z 变换性质的主要目的：

★ 弄清每个性质体现的时域与复频域间的关系。

★ 了解和掌握利用这些性质求解变换和反变换的方法。

8.4 拉普拉斯变换和 Z 变换的性质(续)

与 CFT 和 DTFT 一样，可以从拉普拉斯变换和 Z 变换定义直接得到 S 平面和 Z 平面上几个特殊点的像函数值，例如：

$$F(0) = \int_{-\infty}^{\infty} f(t)dt \quad \text{和} \quad F(1) = \sum_{n=-\infty}^{\infty} f[n] \quad \text{及} \quad F(-1) = \sum_{n=-\infty}^{\infty} (-1)^n f[n]$$

8.4.1 线性性质

拉普拉斯变换和 Z 变换具有如下线性性质：若分别有

$\mathbf{L} \{f_1(t)\} = \{F_1(s), R_{F_1}\}$ 及 $\mathbf{L} \{f_2(t)\} = \{F_2(s), R_{F_2}\}$
和 $\mathbf{Z} \{f_1[n]\} = \{F_1(z), R_{F_1}\}$ 及 $\mathbf{Z} \{f_2[n]\} = \{F_2(z), R_{F_2}\}$
则分别有：

$\alpha f_1(t) + \beta f_2(t) \xleftrightarrow{\mathbf{L}} \{\alpha F_1(s) + \beta F_2(s), \text{ROC} \supset (R_{F_1} \cap R_{F_2})\}$
和 $\alpha f_1[n] + \beta f_2[n] \xleftrightarrow{\mathbf{Z}} \{\alpha F_1(z) + \beta F_2(z), \text{ROC} \supset (R_{F_1} \cap R_{F_2})\}$
其中， α 和 β 是任意非零复常数。

讨论：像函数的线性组合会产生新的零点，并可能消去两个像函数在某个或某些原有极点。例如：

8.4.1 线性性质(续)

$$\alpha F_1(s) + \beta F_2(s) = \frac{\alpha P(s)}{Q(s)} + \frac{\beta A(s)}{B(s)} = \frac{\alpha P(s)B(s) + \beta A(s)Q(s)}{Q(s)B(s)}$$

如果新的零点 (新的分子多项式的根) 等于原有极点, 且阶数不低于该极点, 该极点就被新零点消去。可能产生的极点改变将会影响线性组合像函数的收敛域, 故线性性质中 $\text{ROC} \supset (R_{F_1} \cap R_{F_2})$ 有如下 3 层含义:

- (1) 若 $(R_{F_1} \cap R_{F_2}) = \emptyset$, 表明这样的线性组合分别不存在拉普拉斯变换和 \mathbf{Z} 变换。如例 8.7 中 $e^{-a|t|}$, $a < 0$ 和 $a^{|n|}$, $|a| \geq 1$ 。
- (2) 若 $(R_{F_1} \cap R_{F_2}) \neq \emptyset$, 且没有消去 R_{F_1} 或 R_{F_2} 边界上的极点, 线性组合像函数的 **ROC** 就等于 $R_{F_1} \cap R_{F_2}$ 。
- (3) 若 $(R_{F_1} \cap R_{F_2}) \neq \emptyset$, 新的零点消去的正好是 R_{F_1} 或 R_{F_2} 边界上的极点, **ROC** 可在交集基础上扩大至重新遇到极点。

为说明上述情况, 请看下面的例子。

【例 8.13】 已知两个信号 $x_1(t)$ 和 $x_2(t)$ 拉普拉斯变换如下, 试求 $x(t) = x_1(t) - x_2(t)$ 的拉普拉斯变换。

8.4.1 线性性质(续)

$$X_1(s) = \frac{1}{s+1}, \quad \text{Re}\{s\} > -1 \quad \text{和} \quad X_2(s) = \frac{1}{(s+1)(s+2)}, \quad \text{Re}\{s\} > -1$$

解： 直接利用线性性质， $x(t)$ 的拉普拉斯变换为

$$X(s) = \frac{1}{s+1} - \frac{1}{(s+1)(s+2)} = \frac{s+1}{(s+1)(s+2)} = \frac{1}{s+2}, \quad R_x = (\text{Re}\{s\} > -2)$$

因为产生的新零点正好消去原收敛域边界上的极点，导致交集向左扩大至 $s = -2$ 的极点。

【例 8.14】 试求 $x[n] = a^n(u[n] - u[n-N])$ 的 \mathbf{Z} 变换

解： $x[n]$ 可以表示成两个序列之差，即

$$x[n] = a^n u[n] - a^N a^{n-N} u[n-N]$$

利用例 8.1 的结果 $\mathbf{Z} \{a^n u[n]\} = 1/(1-az^{-1}), |z| > |a|$ 和后面的 \mathbf{Z} 变换的时移性质，可求得 $x[n]$ 的 \mathbf{Z} 变换像函数及其收敛域为

$$X(z) = \frac{1}{1-az^{-1}} - \frac{a^N z^{-N}}{1-az^{-1}} = \frac{1}{z^{N-1}} \frac{z^N - a^N}{z - a}, \quad |z| > 0$$

由于新产生的 N 个零点之一正好消去了原来仅有的极点 $p = a$ ，

8.4.1 线性性质(续)

导致收敛域域扩大成 $|z| > 0$ ，如右图所示。

【例 8.15】 试求 $\cos(\omega_0 t)u(t)$ 、 $\sin(\omega_0 t)u(t)$ 和 $\cos(\Omega_0 n)u[n]$ 、 $\sin(\Omega_0 n)u[n]$ 的拉普拉斯变换和 Z 变换。

解： 先求两个单边正弦函数的拉普拉斯变换，根据欧拉公式，则有

$$\cos(\omega_0 t)u(t) = [e^{j\omega_0 t}u(t) + e^{-j\omega_0 t}u(t)]/2$$

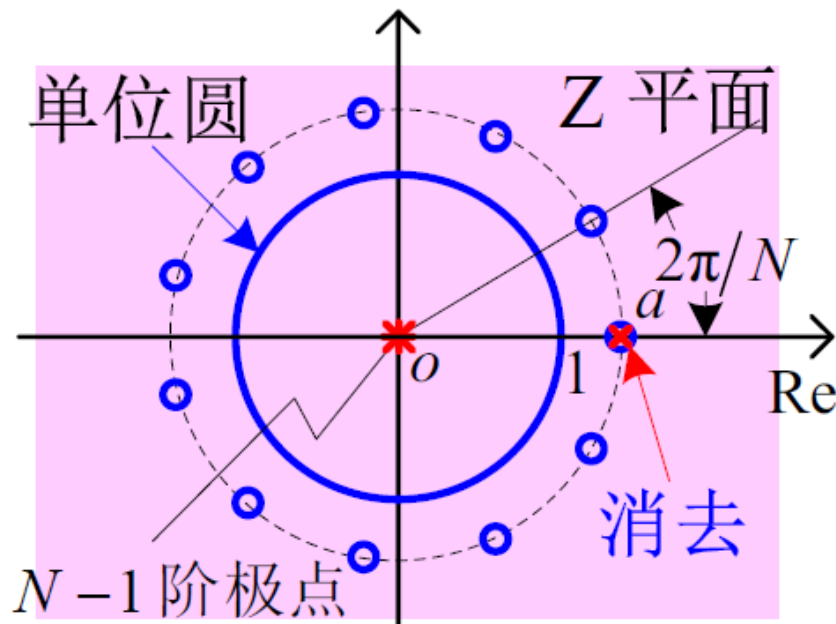
和
$$\sin(\omega_0 t)u(t) = [e^{j\omega_0 t}u(t) - e^{-j\omega_0 t}u(t)]/2j$$

基于例 8.1 的结果，并利用线性性质，则分别求得：

$$\mathcal{L}\{\cos(\omega_0 t)u(t)\} = \frac{0.5}{s - j\omega_0} + \frac{0.5}{s + j\omega_0} = \frac{s}{s^2 + \omega_0^2}, \quad \text{Re}\{s\} > 0$$

$$\mathcal{L}\{\sin(\omega_0 t)u(t)\} = \frac{0.5}{j(s - j\omega_0)} - \frac{0.5}{j(s + j\omega_0)} = \frac{\omega_0}{s^2 + \omega_0^2}, \quad \text{Re}\{s\} > 0$$

用完全类似的方法，可求得两个单边正弦序列的 Z 变换为：



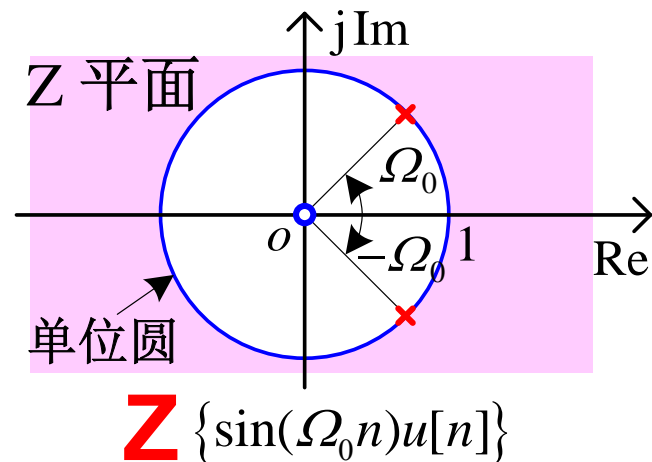
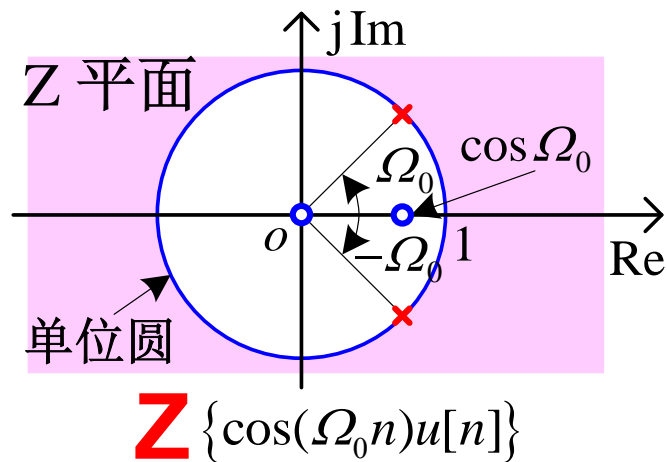
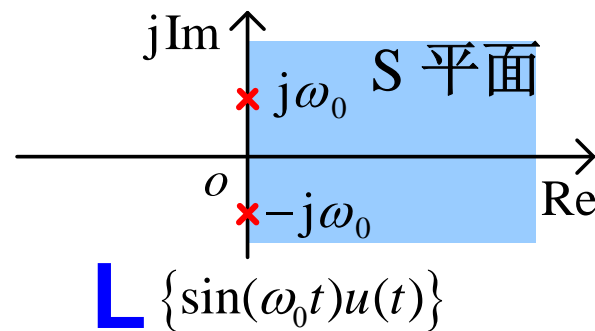
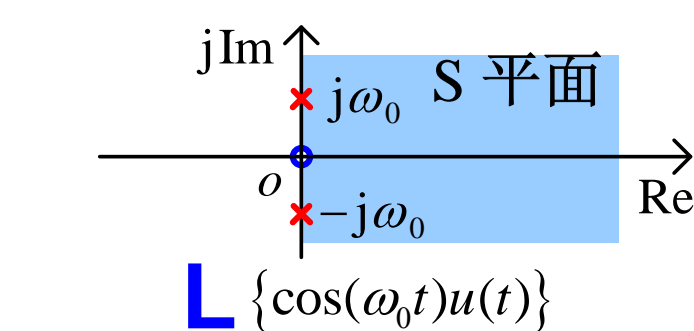
8.4.1 线性性质(续)

$$\mathbf{Z} \{ \cos(\Omega_0 n) u[n] \} = \frac{1 - (\cos \Omega_0) z^{-1}}{1 - 2(\cos \Omega_0) z^{-1} + z^{-2}}, \quad |z| > 1$$

$$\mathbf{Z} \{ \sin(\Omega_0 n) u[n] \} = \frac{(\sin \Omega_0) z^{-1}}{1 - 2(\cos \Omega_0) z^{-1} + z^{-2}}, \quad |z| > 1$$

它们的零、极点和收敛域图分别如下图所示。由此可看出：

在没有零、极点相消的情况下，线性组合的像函数将会保留原来像函数的所有极点。



8.4.2 卷积性质

与傅立叶变换卷积性质一样，拉普拉斯变换和 Z 变换的卷积也是最重要的性质，许多其他性质直接可以由卷积性质导出。

■ 时域卷积性质

拉普拉斯变换和 Z 变换的时域卷积性质陈述如下：若分别有

$$\mathbf{L} \quad \{x(t)\} = \{X(s), R_X\} \quad \text{及} \quad \mathbf{L} \quad \{h(t)\} = \{H(s), R_H\}$$

和 $\mathbf{Z} \quad \{x[n]\} = \{X(z), R_X\} \quad \text{及} \quad \mathbf{Z} \quad \{h[n]\} = \{H(z), R_H\}$

则有
$$x(t) * h(t) \xleftrightarrow{\mathbf{L}} \{X(s)H(s), \text{ROC} \supset (R_X \cap R_H)\}$$

和
$$x[n] * h[n] \xleftrightarrow{\mathbf{Z}} \{X(z)H(z), \text{ROC} \supset (R_X \cap R_H)\}$$

说明：两个像函数相乘也可能出现相互零、极点抵消的情况，故

$\text{ROC} \supset (R_X \cap R_H)$ 也有与线性性质中相似的含义；

表明：♣ 和傅里叶变换一样，时域上两个函数或序列的卷积，到复频域变成两个像函数相乘，高等运算化为初等运算。

♣ 如果像函数的收敛域 R_X 和 R_H 分别包含 S 平面虚轴和 Z 平面单位圆，上述时域卷积性质在 S 平面虚轴和 Z 平面单位圆上分别体现 CFT 和 DTFT 的时域卷积性质。

8.4.2 卷积性质(续)

■ 复频域卷积性质

拉普拉斯变换和 Z 变换的复频域卷积性质陈述如下:

若分别有 $\mathbf{L} \{x(t)\} = \{X(s), R_X = (\sigma_{X1} < \text{Re}\{s\} < \sigma_{X2})\}$

及 $\mathbf{L} \{p(t)\} = \{P(s), R_P = (\sigma_{P1} < \text{Re}\{s\} < \sigma_{P2})\}$

和 $\mathbf{Z} \{x[n]\} = \{X(z), R_X = (r_{X1} < |z| < r_{X2})\}$

及 $\mathbf{Z} \{p[n]\} = \{P(z), R_P = (r_{P1} < |z| < r_{P2})\}$

则有
$$x(t)p(t) \xleftrightarrow{\mathbf{L}} \frac{1}{2\pi j} \int_{\sigma-j\infty}^{\sigma+j\infty} X(v)P(s-v)dv$$

$$\text{ROC} = (\max\{\sigma_{X1}, \sigma_{P1}\} < \text{Re}\{s\} < \min\{\sigma_{X2}, \sigma_{P2}\})$$

其中, 积分路径为 $R_X \cap (R_X - R_P)$ 内平行于虚轴的直线。

和
$$x[n]p[n] \xleftrightarrow{\mathbf{Z}} \frac{1}{2\pi j} \oint_{\mathbf{c}} X(v)P(z/v)v^{-1}dv$$

$$\text{ROC} \supset (r_{X1}r_{P1} < |z| < r_{X2}r_{P2})$$

其中, \mathbf{c} 是 $X(v)$ 和 $P(z/v)$ 的收敛域之公共部分内的一个圆周。

8.4.2 卷积性质(续)

说明: ♣ 复频域卷积性质又被称为 s 域和 z 域的“复卷积定理”，其证明类似于频域卷积性质，感兴趣可自行练习。

♣ 复频域卷积性质目前应用不多， z 域的复卷积定理仅在数字滤波器的加窗设计方法等少数应用中用到。

8.4.3 时移性质和复频移性质

■ 时移性质

拉普拉斯变换和 Z 变换的时移性质陈述如下：若分别有

$$\mathbf{L} \{f(t)\} = \{F(s), R_F\} \quad \text{和} \quad \mathbf{Z} \{f[n]\} = \{F(z), R_F\}$$

则有
$$f(t-t_0) \xleftrightarrow{\mathbf{L}} \{F(s)e^{-st_0}, \text{ROC} \supset [R_F \cap (|s| < \infty)]\}$$

和
$$f[n-n_0] \xleftrightarrow{\mathbf{Z}} \{F(z)z^{-n_0}, \text{ROC} \supset [R_F \cap (0 < |z| < \infty)]\}$$

说明: ♣ e^{-st_0} 和 z^{-n_0} 是**时移因子**，分别是 $\delta(t-t_0)$ 和 $\delta[n-n_0]$ 的双边拉普拉斯变换和 Z 变换像函数；

♣ 由于 z^{-n_0} 可能去掉或补上 $F(z)$ 在无穷远点和原点的极点，

8.4.3 时移性质和复频移性质(续)

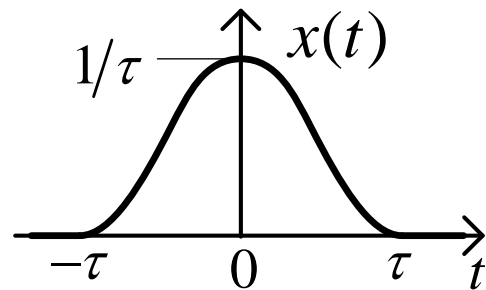
故 $F(z)z^{-n_0}$ 的收敛域为 R_F 与除原点外的有限 Z 平面之交集。
而 e^{-st_0} 可能去掉或补上 $F(s)$ 在无穷远点的极点, 故 $F(s)e^{-st_0}$ 的收敛域为 R_F 与有限 S 平面之交集。

♣ 鉴于 $f(t-t_0) = f(t) * \delta(t-t_0)$ 和 $f[n-n_0] = f[n] * \delta[n-n_0]$, 故时移性质可以看成时域卷积性质的一个特例。

利用时移性质, 可求得许多有限宽度或分段初等函数和序列的拉普拉斯变换和 Z 变换, 若收敛域分别包含 S 平面虚轴和 Z 平面单位圆, 还可以得到它们的傅里叶变换。请看下面的例子。

【例 8.16】 求如下升余弦脉冲 $x(t)$ 的拉普拉斯和傅里叶变换

$$x(t) = \begin{cases} (1/2\tau)[1 + \cos(\pi/\tau)t], & |t| \leq \tau \\ 0, & |t| > \tau \end{cases}$$



解: $x(t)$ 的波形见右图, 它可改写为

$$x(t) = \frac{1}{2\tau} \left\{ \left[1 - \cos \frac{\pi}{\tau}(t + \tau) \right] u(t + \tau) - \left[1 - \cos \frac{\pi}{\tau}(t - \tau) \right] u(t - \tau) \right\}$$

8.4.3 时移性质和复频移性质(续)

$$= \frac{\left[u(t+\tau) - u(t-\tau) \right] - \left\{ \left[\cos \frac{\pi}{\tau}(t+\tau) \right] u(t+\tau) - \left[\cos \frac{\pi}{\tau}(t-\tau) \right] u(t-\tau) \right\}}{2\tau}$$

基于 $u(t)$ 和上面 $\cos(\omega_0 t)u(t)$ 的拉普拉斯变换, 直接利用时移性质, $x(t)$ 的拉普拉斯变换像函数为

$$X(s) = \frac{1}{2\tau} \left[\frac{e^{s\tau} - e^{-s\tau}}{s} - \frac{s(e^{s\tau} - e^{-s\tau})}{s^2 + (\pi/\tau)^2} \right]$$

由于 $x(t)$ 是有限宽脉冲, 其像函数收敛域至少是有限 S 平面, 包含虚轴。根据 CFT 与拉普拉斯变换的关系, $x(t)$ 的 CFT 为

$$\begin{aligned} X(\omega) &= X(s) \Big|_{s=j\omega} = \frac{1}{2\tau} \left[\frac{e^{j\omega\tau} - e^{-j\omega\tau}}{j\omega} - \frac{j\omega(e^{j\omega\tau} - e^{-j\omega\tau})}{(j\omega)^2 + (\pi/\tau)^2} \right] \\ &= \frac{\sin \omega\tau}{\omega\tau} - \frac{\omega\tau \sin \omega\tau}{(\omega\tau)^2 - \pi^2} = \text{Sa}(\omega\tau) + \frac{1}{2} \left\{ \text{Sa} \left[\left(\omega + \frac{\pi}{\tau} \right) \tau \right] + \text{Sa} \left[\left(\omega - \frac{\pi}{\tau} \right) \tau \right] \right\} \end{aligned}$$

这个结果与第 6 章例 6.5 的结果完全相同。

讨论: 本题也展示了又一种求解傅立叶变换的方法。

8.4.3 时移性质和复频移性质(续)

■ 复频移性质

S 平面和 Z 平面分别是直角坐标和极坐标的复平面，拉普拉斯变换和 Z 变换的“复频移性质”有所不同，下面分开来讲述。

● 拉普拉斯变换的复频移性质 (s 域平移性质)

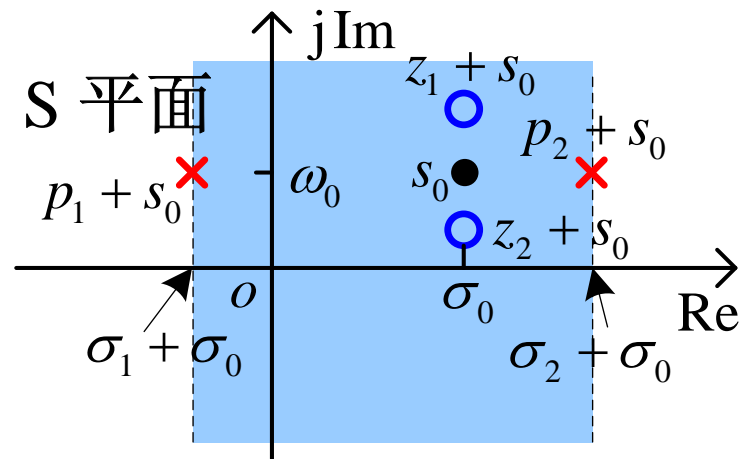
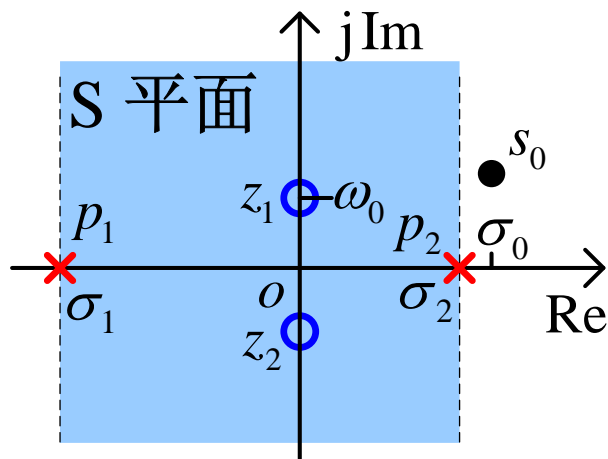
拉普拉斯变换的 s 域平移性质陈述如下：

若 $\mathcal{L}\{f(t)\} = \{F(s), R_F = (\sigma_1 < \text{Re}\{s\} < \sigma_2)\}$ ，且 $s_0 = \sigma_0 + j\omega_0$

则有 $e^{s_0 t} f(t) \xleftrightarrow{\mathcal{L}} \{F(s - s_0), (\sigma_1 + \sigma_0) < \text{Re}\{s\} < \sigma_2 + \sigma_0\}$

表明：时间函数时域上被复指数 $e^{s_0 t}$ 加权，变换到 S 平面上变成其像函数 (包括零、极点分布) 和收敛域都平移 s_0 ，包括沿实

轴右移 σ_0
和沿虚轴
上移 ω_0 。
如右图
所示。



8.4.3 时移性质和复频移性质(续)

● Z 变换的复频移性质 (时域复指数加权性质)

Z 变换的时域复指数性质陈述如下:

如果 **Z** $\{f[n]\} = \{F(z), R_F = (r_1 < |z| < r_2)\}$, 则有

$$z_0^n f[n] \xleftrightarrow{Z} \{F(z/z_0), \text{ROC} = |z_0| R_F = (|z_0| r_1 < |z| < |z_0| r_2)\}$$

由于 Z 平面是极坐标 $z = re^{j\Omega}$ 的复平面, Z 变换的复频移性质就不那么单纯。为此, 先看下面两种特殊情况:

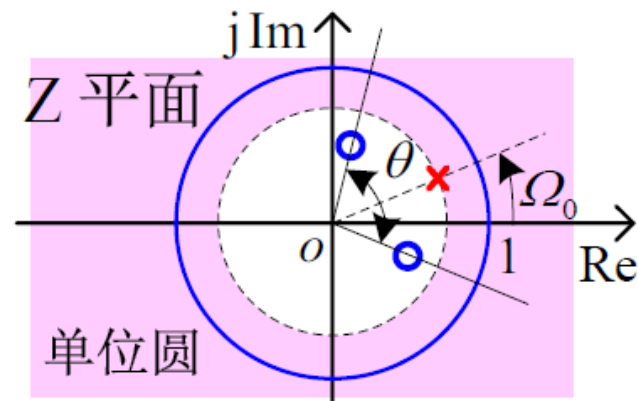
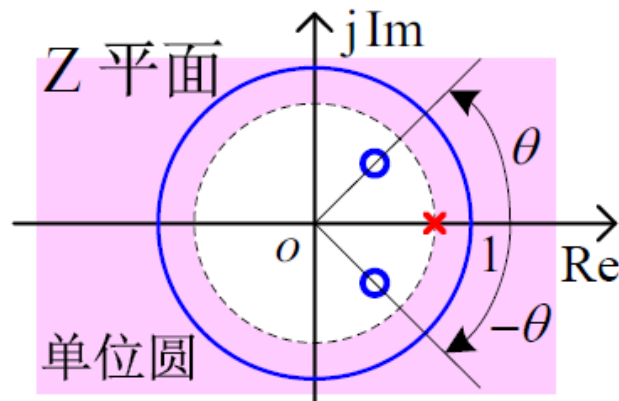
★ z 域旋转 (复正弦加权性质)

若 $z_0 = e^{j\Omega_0}$, 则 $e^{j\Omega_0 n} f[n] \xleftrightarrow{Z} \{F(z e^{-j\Omega_0}), \text{ROC} = R_F\}$

表明: 时域上序列被复正弦 $e^{j\Omega_0 n}$ 加权, 变换到 Z 平面上变成其像函数 (包括零、极点分布) 和收敛域都逆时针旋转 Ω_0 , 故收敛域 R_F 不变。

如右图所示。

进一步, 若 $\Omega_0 = (2k+1)\pi$
即 $z_0 = -1$,



8.4.3 时移性质和复频移性质(续)

就变成特殊的 z 域旋转 π 的奇数倍性质，即

$$(-1)^n f[n] \xleftrightarrow{Z} \{F(-z), \text{ ROC} = R_F\}$$

若 R_F 包含单位圆， z 域旋转就归结为 DTFT 的频移性质，

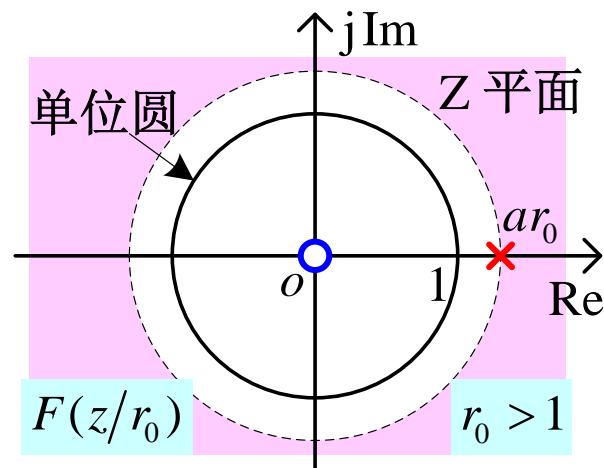
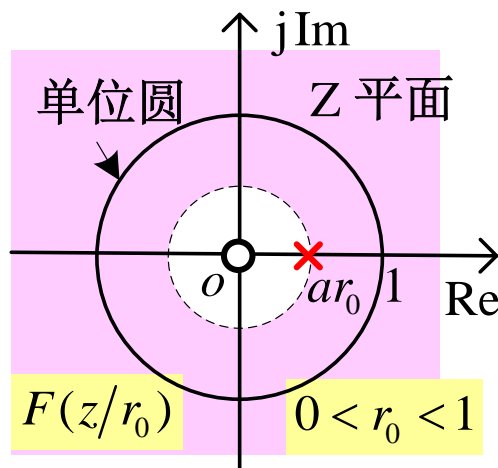
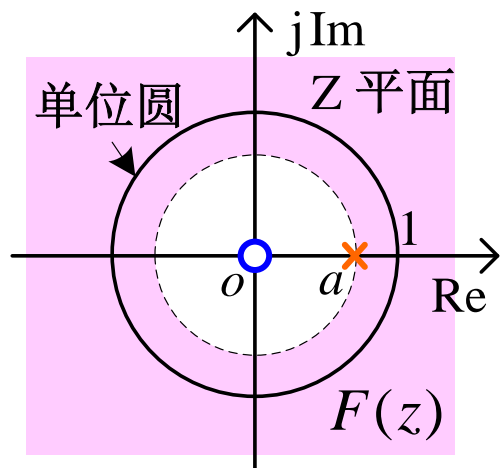
即

$$e^{j\Omega_0 n} f[n] \xleftrightarrow{\text{DTFT}} \tilde{F}(\Omega - \Omega_0)$$

★ z 域径向反比变换 (实指数加权性质)

若 $z_0 = r_0 > 0$ ，则 $r_0^n f[n] \xleftrightarrow{Z} \{F(z/r_0), r_0 R_F = (r_0 r_1 < |z| < r_0 r_2)\}$

表明：时域上序列被实指数 r_0^n 加权或调制，导致其像函数 (包括零、极点分布) 和收敛域在 Z 平面上、以单位圆为基圆的径向反比收缩 ($0 < r_0 < 1$) 或拉伸 ($r_0 > 1$)，如下图所示。



8.4.3 时移性质和复频移性质(续)

在两个特例的基础上, 时域复指数加权性质可解释如下:

对于任意复数 $z_0 = r_0 e^{j\Omega_0}$, 时域上序列被复指数 z_0^n 加权, 导致其像函数(包括零、极点分布)和收敛域在 Z 平面上, 既逆时针旋转 Ω_0 , 又有以单位圆为基圆的径向反比 ($1/r_0$) 收缩或拉伸。

利用上述复频移性质(时域复指数加权性质), 有助于求解一些新的拉普拉斯变换和 Z 变换。请看下面的例子。

【例 8.17】 试求如下实指数调制的单边正弦函数和序列的拉普拉斯和 Z 变换, 其中 $a > 0$, $0 < r < 1$

$$x_1(t) = e^{-at} \cos(\omega_0 t) u(t) \quad \text{及} \quad x_2(t) = e^{-at} \sin(\omega_0 t) u(t)$$

$$\text{和} \quad x_1[n] = r^n \cos(\Omega_0 n) u[n] \quad \text{及} \quad x_2[n] = r^n \sin(\Omega_0 n) u[n]$$

解: 基于例 8.15 的结果, 即

$$\mathcal{L}\{\cos(\omega_0 t) u(t)\} = \frac{s}{s^2 + \omega_0^2}, \operatorname{Re}\{s\} > 0 \quad \text{及} \quad \mathcal{L}\{\sin(\omega_0 t) u(t)\} = \frac{\omega_0}{s^2 + \omega_0^2}, \operatorname{Re}\{s\} > 0$$

$$\text{和} \quad \mathcal{Z}\{\cos(\Omega_0 n) u[n]\} = \frac{1 - (\cos \Omega_0) z^{-1}}{1 - 2(\cos \Omega_0) z^{-1} + z^{-2}}, \quad |z| > 1$$

8.4.3 时移性质和复频移性质(续)

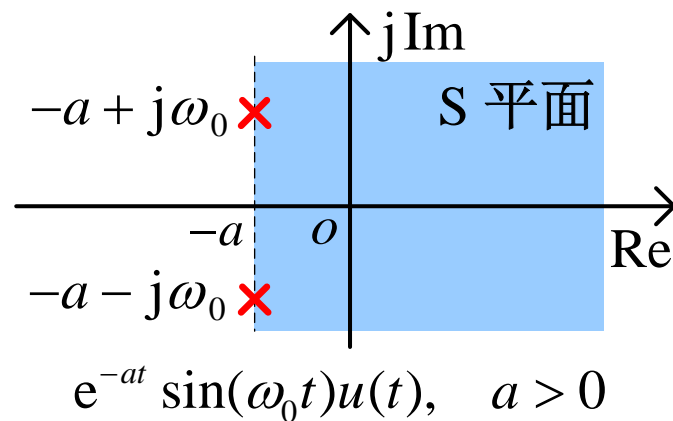
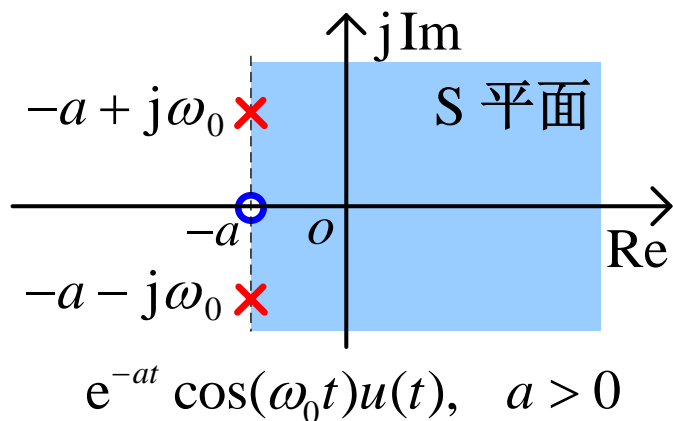
及 $\mathbf{Z} \left\{ \sin(\Omega_0 n) u[n] \right\} = \frac{(\sin \Omega_0) z^{-1}}{1 - 2(\cos \Omega_0) z^{-1} + z^{-2}}, \quad |z| > 1$

直接利用拉普拉斯变换的 s 域平移性质，可求得实指数调制的单边正弦函数的拉普拉斯变换如下：

$$\mathbf{L} \left\{ e^{-at} \cos(\omega_0 t) u(t) \right\} = \frac{s + a}{(s + a)^2 + \omega_0^2}, \quad \text{Re}\{s\} > -a$$

及 $\mathbf{L} \left\{ e^{-at} \sin(\omega_0 t) u(t) \right\} = \frac{\omega_0}{(s + a)^2 + \omega_0^2}, \quad \text{Re}\{s\} > -a$

在 S 平面上这两个像函数的零、极点和收敛域如下图所示，与例 8.15 的图比较，清楚体现出 s 域的平移特性。



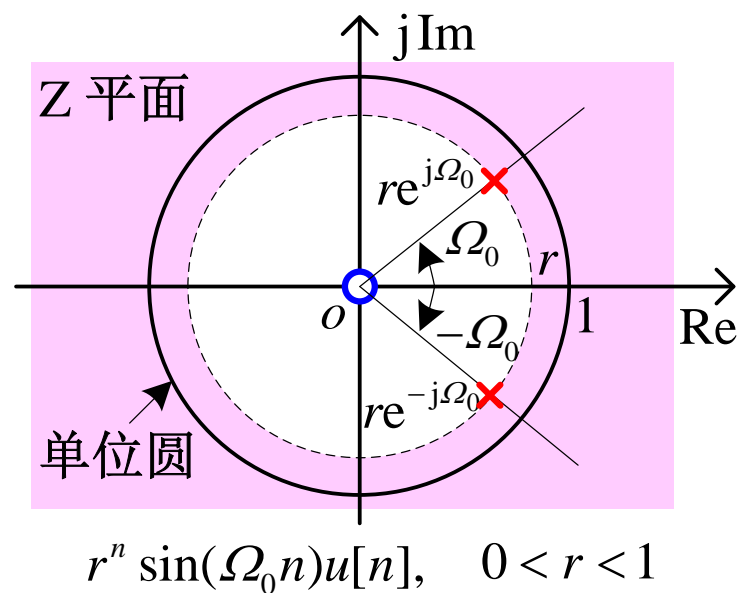
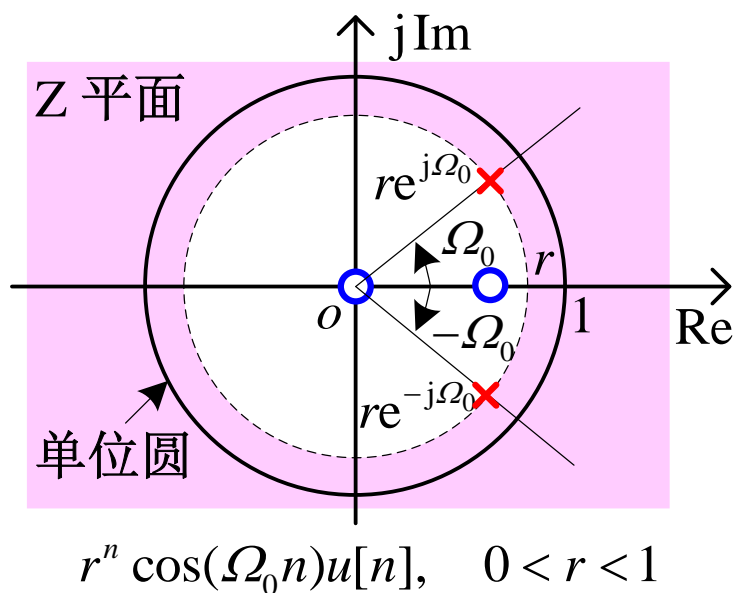
8.4.3 时移性质和复频移性质(续)

同样地，直接利用 Z 变换的时域复指数加权性质，可求得实指数调制的单边正弦序列的 Z 变换如下：

$$\mathbf{Z} \left\{ r^n \cos(\Omega_0 n) u[n] \right\} = \frac{1 - (r \cos \Omega_0) z^{-1}}{1 - 2r(\cos \Omega_0) z^{-1} + r^2 z^{-2}}, \quad |z| > r$$

及
$$\mathbf{Z} \left\{ r^n \sin(\Omega_0 n) u[n] \right\} = \frac{r(\sin \Omega_0) z^{-1}}{1 - 2r(\cos \Omega_0) z^{-1} + r^2 z^{-2}}, \quad |z| > r$$

在 Z 平面上这两个像函数的零、极点和收敛域如下图所示，与例 8.15 的图比较，清楚体现出 z 域的径向反比变换特性。



作业

- 6.3 1) 2) 5) 6)